

固定床開水路分流における流量・流砂量配分比に関する実験的研究

DIVERSION RATIOS OF BED LOAD AND WATER DISCHARGE TO A DIVERSION CHANNEL WITH RIGID BED

川合 茂*・芦田和男**

By Shigeru KAWAI and Kazuo ASHIDA

Experimental study is made to investigate the discharge ratios of sediment as well as of water in channels of two types, one concerning the Y-shaped channel and other the curved channel, with attention focussed on the geometric features of the dividing flow region.

It was found that both the energy loss and dividing streamline could be determined in terms of the geometry of experimental flume and flow depth. Empirical methods to predict the water discharge ratio and the sediment discharge ratio are presented.

Keywords : river improvement, dividing flow, diversion ratio, local flow

1. 緒論

河川分流は治水・利水の目的で広く行われている。また、近年、重要課題となっているダム堆砂の排除に分流工を活用することも可能であろう。河川分流の基本的な問題は、流量・流砂量配分比である。流量・流砂量配分比を規定するものは、主に、分岐部周辺の流路の平面形状と分岐に伴うエネルギー損失であると考えられる。従来、対象とされた流路の平面形状は、Habermaas¹⁾や著者ら^{2),3)}を除き、直線水路からある角度をもって分水路が取り付けられたT型分岐水路であり、エネルギー損失についてはほとんど議論されていない^{4)~8)}。河川分流を有効に行うためには、分岐部周辺の水路の平面形状、エネルギー損失、流量・流砂量配分比の間の関係を知る必要がある。

本研究では、種々の分岐形状を考慮し、その基本的な分岐形状として、Fig.1に示すような、Y型分岐直線水路を、また、分岐部より上流の流路の曲がりの影響を考慮して、湾曲部から分流される湾曲分岐水路の2種類の

分流水路を用いている。そして、固定床実験により、上述の諸量について考察したものである。まずは、Fig.1に示す主・分水路の偏角 θ_1 , θ_2 や分岐点偏角 α とエネルギー損失の関係を調べるとともに、分岐に伴うエネルギー損失の推定法について考察する。ついで、流量配分比に及ぼす偏角の影響を検討し、エネルギー方程式に基づく流量配分比の算定法を提示する。さらに、掃流砂量配分比、偏角、流量配分比の間の関係を実験的に明らかにする。なお、本研究は、既報^{2),3)}のデータを再整理するとともに、加筆修正したものである。

2. 実験

Y型分岐水路の諸元は主水路幅20 cm, 分水路幅10 cm, 分岐部の上・下流の長さ4 mである。湾曲分岐水路の諸元は主水路幅50 cm, 分水路幅25 cm, 主水路全長22.4 m, 分水路長5 mで、主水路湾曲部の湾曲偏角は90°, 中心曲率半径は150 cmである。分水路は、湾曲流に関する村本ら⁹⁾および分流に関するHabermaas¹⁾の研究成果を参考にし、偏角 $\alpha=42^\circ, 65^\circ, 90^\circ$ の外岸に設置されている。分岐点偏角 $\alpha=42^\circ$ は湾曲二次流の発生域、 $\alpha=65^\circ$ は発達域に相当し、 $\alpha=90^\circ$ は、掃流砂量配分比が最小となるところ¹⁾である。また、湾曲流の影響範囲を知るために、湾曲部終端より主水路幅の5倍お

* 正会員 工修 舞鶴工業高等専門学校講師 土木工学科
(〒625 舞鶴市白屋234)

** 正会員 工博 京都大学教授 防災研究所
(〒611 宇治市五ヶ庄)

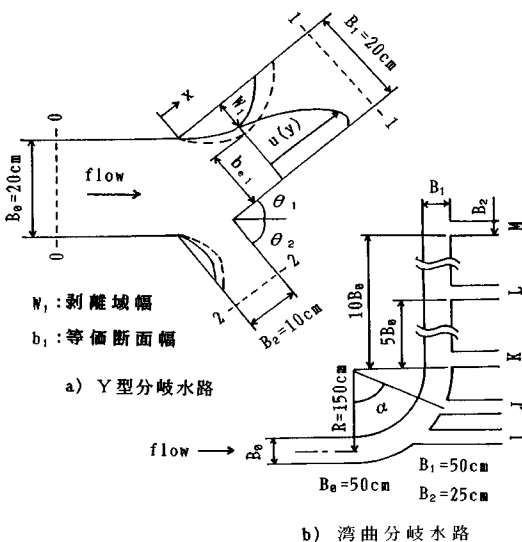


Fig. 1 Shape of the experimental flume and definition sketch.

より 10 倍下流にも分水路が設置されている。水路床勾配は、いずれも 1/1000 に設定し、水路全区間が常流域になるように人工粗度がつけられている。

実験は、Table 1 に示すように、 θ_1 、 θ_2 、 α を変化させ、39 ケースについて行った。いずれのケースにおいても分岐部周辺の流れに着目し、水深、流速、剥離域の大きさを測定するとともに、分離流線を測定した。剥離域は、注射針にて、過マンガン酸カリウム溶液を注入し、順流と逆流の継続時間が等しくなるところを目視によって定めた。分離流線は、中立粒子をトレーサーとして流し、その軌跡より求めた。なお、Table 1 において、湾曲分流実験の EXP. 記号は Fig. 1 b) の分水路の記号に対応している。また、流量配分比と掃流砂量配分比との相違点を調べるために、底面近傍の流向とそれより上層の流向との違いに着目し、主水路幅 15 cm、分水路幅 6 cm、長さ 5 m の Y 型分岐水路 ($\theta_1=0^\circ$, $\theta_2=25^\circ$, 50°) を用いて、水素気泡法による層流実験を行った。この実験では、分岐部周辺の流速分布や流跡線を詳細に測定した。実験条件は、流量 $Q=0.85 \text{ l/s}$ 、レイノルズ数 = 約 1000 である。

3. 分岐部周辺における流況特性

(1) 流速分布特性

分岐部周辺における平均流のエネルギー損失は、主として、垂直軸をもつ渦に支配されていると考えられる。このことについて、垂直方向に平均した流速の横断分布をみる。Fig. 2 は、EXP. NO E-2 における各断面の流

Table 1 Experimental conditions and some results.

EXP. NO.	$\theta_1 (\circ)$	$\theta_2 (\circ)$	$Q (\text{l/s})$	κ	κ_g
Y 型	1 2 3	30	0	1. 0 2. 0 3. 8	0. 300 0. 350 0. 389
	1 2 3	30	30	1. 0 2. 0 3. 8	0. 250 0. 300 0. 324
	1 2 3	60		1. 0 2. 0 3. 8	0. 250 0. 285 0. 295
分 岐 水 路	1 2 3	60	0	1. 0 2. 0 3. 8	0. 330 0. 360 0. 324
	1 2 3	60	30	1. 0 2. 0 3. 8	0. 300 0. 335 0. 365
	1 2 3	60	60	1. 0 2. 0 3. 8	0. 275 0. 310 0. 324
湾 曲 分 岐 水 路	1 2 3	0	30	1. 0 2. 0 3. 8	0. 315 0. 322 0. 324
	1 2 3	0	60	1. 0 2. 0 3. 8	0. 290 0. 303 0. 324
$\alpha (\circ)$					
湾 曲 分 岐 水 路	1 2 3	42		2. 0 5. 0 12. 0	0. 330 0. 346 0. 352
	1 2 3	65		2. 0 5. 0 12. 0	0. 330 0. 316 0. 317
	1 2 3	90		2. 0 5. 0 12. 0	0. 215 0. 226 0. 242
水 路			$\theta_1 (\circ)$ $\theta_2 (\circ)$		
	1 2 3	0	90	2. 0 5. 0 12. 0	0. 195 0. 212 0. 208
	1 2 3	0	90	2. 0 5. 0 12. 0	0. 200 0. 202 0. 208

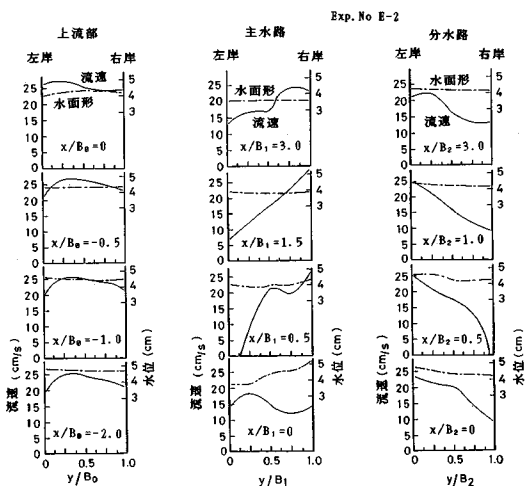
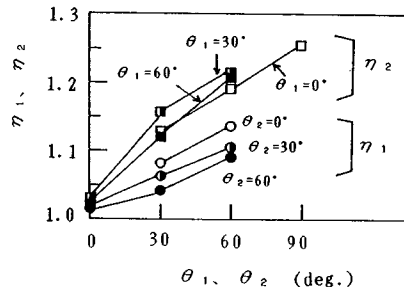


Fig. 2 Velocity profiles at each cross section.

速の横断分布と水面形を示したものである。流速は分岐部より上流ではほぼ一様な分布を示すが、分岐部直下流では、主・分水路とも流速の横断勾配が大きくなる。流速の横断勾配が最も大きくなる断面 ($x/B_1=0.5$, $x/B_2=0.5$) では、流速が 0 あるいは負となる。さらに

Fig. 3 Momentum correction factor η vs deflection angle θ .

詳しくみると、主・分水路とも分岐直後の断面 ($x/B_1 = x/B_2 = 0$) では流速の横断勾配は小さいが、主水路では右岸側、分水路では左岸側の水位が高く、その直下流では水位は低くなっている。水流は加速され、流れの集中が知られる。さらに下流では流れが発散し、水位は平坦になっていくとともに、流速分布も一様化していく。こうした流速の横断分布特性より、垂直軸をもつ剥離渦の形成に伴って、顕著なエネルギー損失の生ずることが推察される。

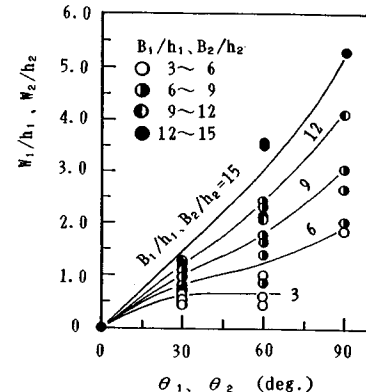
ついで、流速の横断勾配が最も大きな断面 ($x/B_1 = 0.5, x/B_2 = 0.5$) での運動量補正係数 η (η_1 : 主水路, η_2 : 分水路) を調べてみる。その結果を Fig. 3 に示す。偏角 θ_1, θ_2 が大きくなるほど η_1, η_2 は大きくなる。さらに、 $\theta_1 = 0^\circ$ の場合の η_2 のデータの不明確さはあるものの、 θ_1 が大なるほど η_2 は小さくなり、 θ_2 が大なるほど η_1 は小さくなる傾向が知られる。これは、偏角によって流れの集中の程度が変化するためと思われる。こうした傾向は湾曲分岐流においても同様で、分岐点偏角 α が大きいほど η_2 は大きくなり、運動量補正係数に対する分岐点偏角の影響は、Y型分岐水路における偏角の影響と同様である。

(2) 剥離域

剥離渦の大きさとエネルギー損失との関連性を議論するに先がけて、剥離域幅を調べる。Fig. 1 a) に示す剥離域幅が最大となる断面の剥離域幅 W_1 は、偏角、分岐前後の水理量および流体の物性などによって定まると思われる。 W_1 に関して次元解析を行うと、次式を得る。

$$W_1/h_1 = f(\theta_1, B_1/h_1, V_0/V_1, V_1^2/gh_1, V_1h_1/\nu) \quad \dots \quad (1)$$

ここに、 V は断面平均流速、 h は平均水深、 g は重力加速度、 ν は動粘性係数である。添字 0 は上流部、1 は分岐部下流の断面を表わし、いずれも分流の影響がほとんど現われない断面である。上式は主水路に対するものであるが、分水路においても同様である。剥離域幅は幾何学的パラメーターに最も依存し、ついで力学的パラメーターに支配されるものと思われる。本実験のフル-

Fig. 4 Width of separation region W/h vs deflection angle θ .

ド数の範囲は、おむね 0.5~0.7 であるため、ここでは、偏角と幅水深比に着目する。Y型分岐における W_1/h_1 (主水路), W_2/h_2 (分水路) について、その結果を Fig. 4 に示す。剥離域測定の困難さのため、データはかなりばらついているが、 θ_1 や θ_2 が大きくなると剥離域幅は大きくなり、 $B_1/h_1, B_2/h_2$ が大きいほど剥離域幅も大きくなる傾向がうかがえる。こうした傾向は湾曲分岐においても同じである。図中の実線は、 θ_1, θ_2 と $W_1/h_1, W_2/h_2$ および $B_1/h_1, B_2/h_2$ との間の関係を実験的に求めたものである。

(3) 分岐部周辺におけるエネルギー損失

分岐部周辺では、剥離渦の形成のために、顕著なエネルギー損失が生ずる。その一例を Fig. 5 に示す。図示のように、分岐水路において顕著なエネルギー損失がみられる。こうしたエネルギー損失の機構は、単水路断面急拡部のそれに類似している。そこで、断面急拡部におけるエネルギー損失の推定法に準じて、分岐によって生ずるエネルギー損失を推定してみる。いま、分岐に伴うエネルギー損失水頭を h_i として、次式のように表わす。

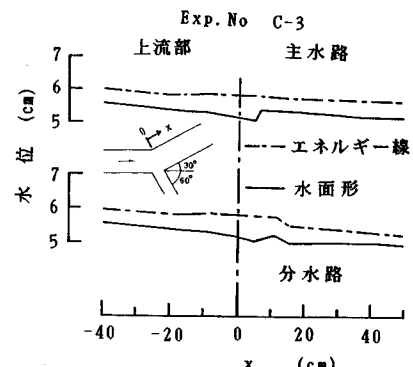


Fig. 5 Water profile and energy line in the dividing region.

$$h_i = \xi V^2 / 2 g \dots\dots\dots\dots\dots(2)$$

ここに, ξ はエネルギー損失係数, V は分流の影響が消失する下流断面の平均流速, g は重力加速度である.

単水路急拡部におけるエネルギー損失係数は, 芦田¹⁰⁾によると, 主に急拡率の逆数 γ の関数として表わされる.

$$\xi = f(\gamma), \gamma = b_u / b_d \dots\dots\dots\dots\dots(3)$$

ここに, b_u , b_d は, それぞれ急拡前後の水路幅である.

分岐部においても, この γ に対応する条件, つまり, 剥離域の形成や水流の集中に伴う断面の縮小率が設定されると, 式(3)を用いて ξ が推定される. そこで, 剥離域幅が最大となる断面における有効な流水断面幅を, 最大剥離域幅 W_1 および流速の横断分布 $u(y)$ などによって求める. いま, Fig. 1 a) を参照して, 幅 $(B_1 - W_1)$ の運動量と等価な運動量を有する有効な流水断面幅 b_{ei} (以後, 等価断面幅と呼称する) を求め, γ を定める. すなわち, 幅 b_{ei} における平均水深 h_{ei} と平均流速 V_{ei} を

$$b_{ei} V_{ei} h_{ei} = (B_1 - W_1) V_m h_m \dots\dots\dots\dots\dots(4)$$

$$b_{ei} V_{ei}^2 h_{ei} = (B_1 - W_1) \eta_1 V_m^2 h_m \dots\dots\dots\dots\dots(5)$$

のように定義すれば, 急拡部の γ に対応する条件は次式のように表わされる.

$$\gamma_i = b_{ei} / B_1 = (1 / \eta_1) (B_1 - W_1) / B_1 \cdot (h_m / h_{ei}) \dots\dots\dots\dots\dots(6)$$

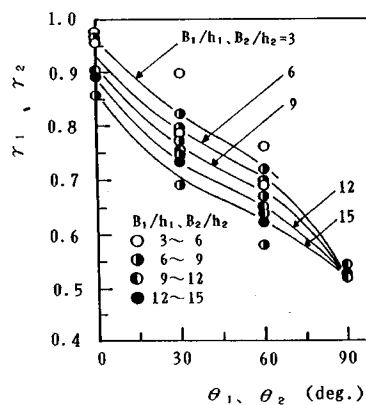


Fig. 6 Equivalent width ratio γ vs deflection angle θ in Y-shaped flume.

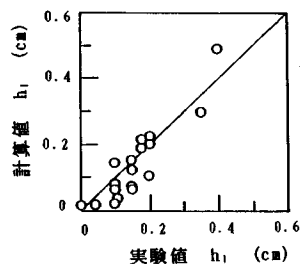


Fig. 7 Comparison between calculated and experimental values for energy loss h_i .

ここに, h_m , V_m はそれぞれ幅 $(B_1 - W_1)$ における平均水深, 平均流速, η_1 は運動量補正係数である. 上式は分水路においても同様である.

上式に基づいて, 実験値より, γ_1 (主水路), γ_2 (分水路) を求め, その特性を調べる. なお, 実験結果より $h_m \approx h_{ei}$ としている. γ_1 , γ_2 を定める主要なパラメーターは, 剥離域幅 W_1 を定めるものと同じであると考え, データを整理したのが Fig. 6 で, Y 型分岐の場合である. 図示のように, θ_1 , θ_2 が大きくなると γ_1 , γ_2 は減少し, B_1/h_1 , B_2/h_2 が大きいと γ_1 , γ_2 は小さくなる. 図中の実線は, 剥離域幅の場合と同様に, 実験的に求めたものである. 湾曲分岐の場合, 湾曲水路内では水流の剥離は起こらず, 横断方向の速度勾配も小さいため, 広い水理条件下で $\gamma_1 \approx 1$ となる. γ_2 についてはデータ数が少ないため, 幅水深比に対する γ_2 の変化は明確ではないが, 偏角 α が大きくなると γ_2 は小さくなり, Y 型分岐と同じ傾向を示す.

さて, 単水路急拡部における急拡率の逆数に相当する等価断面幅比 γ_1 , γ_2 がかなり明らかにされたので, Fig. 6 の結果を式(3)に代入して分岐に伴うエネルギー損失を推定する. このようにして得られたエネルギー損失水頭と実験値を比較したのが Fig. 7 である. 両者は比較的よく一致しており, 上述の方法によってエネルギー損失は十分に推定されるものと思われる.

4. 流量配分比

(1) 主・分水路の偏角による流量配分比の変化

流量配分比 x (分水路流量/全流量) と偏角 θ_1 , θ_2 や分岐点偏角 α との関係を調べたのが Fig. 8, Fig. 9 である. 前者は Y 型分岐, 後者は湾曲分岐の場合である. Y 型分岐の場合 (Fig. 8), 偏角 θ_1 , θ_2 に対して, $\theta_1 \rightarrow$ 大のとき $x \rightarrow$ 大, $\theta_2 \rightarrow$ 大のとき $x \rightarrow$ 小なる傾向がある. 湾曲分岐 (Fig. 9) においては, 分岐点偏角 α が大きいほど x は小さくなり, その減少は湾曲二次流の発達域において急激で, $\alpha = 90^\circ$ では $x/B_0 = 5, 10$ (Y 型, $\theta_1 = 0^\circ$, $\theta_2 = 90^\circ$) の x にほぼ等しくなる. こうした x の変化は, 主・分水路におけるエネルギー損失の原因となっている剥離渦の特性値が偏角に対応して変化するためである. Fig. 6 に示す等価断面幅比 γ の変化から知られるように, Y 型分岐では, θ_1 が大なるほど主水路におけるエネルギー損失が大きくなっているが増大し, θ_2 が大きくなると, 分水路におけるエネルギー損失が大きくなっているが減少するものと推察される. 湾曲分岐においても, α が大きいほど分水路でのエネルギー損失が大きくなり, x は減少するものと思われる. そして, 発達域における急激な減少は, 湾曲部における水流の曲率に関係するようである. 湾曲部における河床面近傍を除く流れは,

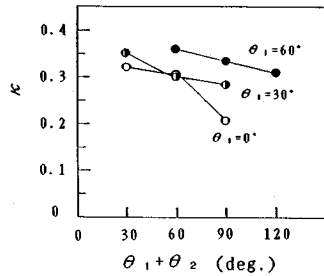


Fig. 8 Dividing discharge ratio x vs deflection angle θ in Y-shaped flume.

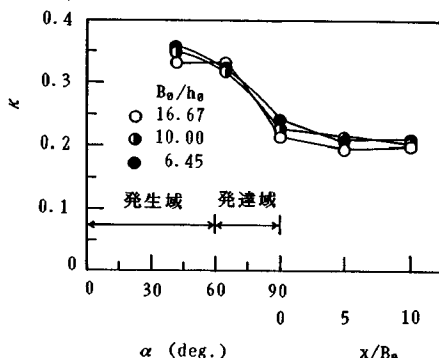


Fig. 9 Dividing discharge ratio x vs deflection angle α and distance from the end of curve x/B_0 in curved flume.

発達域では流向が水路壁と一致するようになり、分水路への流入が制限されて、 x は急激に減少するものと思われる。Y型分岐と湾曲分岐の対比より、分岐点より上流の水路平面形状の影響の大きさが知られる。

ついで、Y型分岐と湾曲分岐の対応関係を調べる。水路の形状やこれまでの結果から考えて、Y型分岐の偏角 θ_1 に対応する湾曲分岐水路の角度は 0° 、 θ_2 に対する角度は分岐点偏角 α になると思われる。この対応関係に基づき、 $\theta_1=0^\circ$ の場合のY型分岐の流量配分比 x と湾曲分岐の x を比べたのが Fig. 10 である。同じ $\theta_1(\alpha)$ に対して、湾曲分岐の x の方がY型分岐の x より大きくなっている。これは、分岐部までに生ずる湾曲二次流の発達によって、外岸側に流れが集中するためと推察される。

(2) 流量配分比の算定

分岐部周辺の流れは、分岐に伴うエネルギー損失が卓越することに特徴づけられる。このエネルギー損失は、Fig. 7 に示すように、断面急拡部で行われている方法で推定される。このことは、エネルギー方程式を用いて、流量配分比 x の算定が可能なことを意味している。

Fig. 1a) に示すように、分岐前後に検査面をとり、主水路上・下流および分水路を添字 0, 1, 2 を付して表わすと、連続式およびエネルギー方程式は次のように表

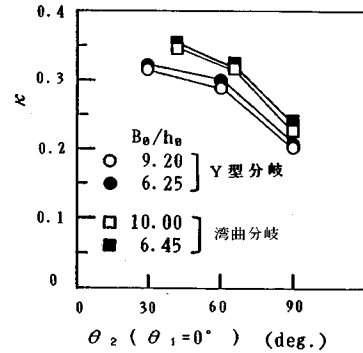


Fig. 10 Dividing discharge ratio x vs deflection angle θ_2 in Y-shaped and curved flumes.

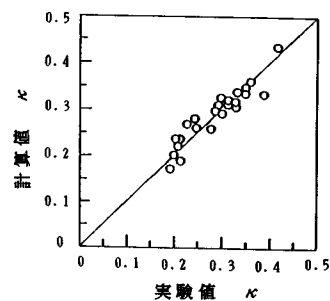


Fig. 11 Comparison between calculated and experimental values for discharge ratio x .

わされる。

$$Q_1 = (1-x)Q_0, Q_2 = xQ_0 \dots \quad (7)$$

$$E_0 = z_0 + h_0 + \beta_0 V_0^2/2 g = z_1 + h_1 + \beta_1 V_1^2/2 g + h_{12} \dots \quad (8)$$

$$= z_2 + h_2 + \beta_2 V_2^2/2 g + h_{21} \dots \quad (8)$$

ここに、 Q は流量、 z は位置水頭、 h は水深、 V は平均流速、 h_{12} は形状損失水頭、 β はエネルギー補正係数である。いま、 $z_1 = z_2$ とし、また、断面 1 および断面 2 では流速は一様と考えられるから、 $\beta_1 = \beta_2 = 1$ とするとき、式 (7)、式 (8) より流量配分比に関する次式が得られる。

$$\left. \begin{aligned} x &= 1/(1+Q) \\ Q &= (B_1 F_{r1}/B_2 F_{r2}) [(F_{r2}^2(1+\zeta_2)+2)/ \\ &\quad (F_{r1}^2(1+\zeta_1)+2)]^{1/2} \end{aligned} \right\} \dots \quad (9)$$

ここに、 F_r はフルード数、 B は水路幅、 ζ はエネルギー損失係数である。

流量配分比 x を求めるには、与えられた流量条件のもとで、まず x を仮定し、 F_{r1} 、 F_{r2} を求めるとともに、エネルギー損失のところで述べた方法で ζ_1 、 ζ_2 を求める。ついで、それらが式 (9) を満足するかどうかを調べ、満足しなければ x を仮定しなおして式 (9) を満足するまで繰り返す。こうして求めた流量配分比と実験値を比較したのが Fig. 11 である。計算値と実験値はよ

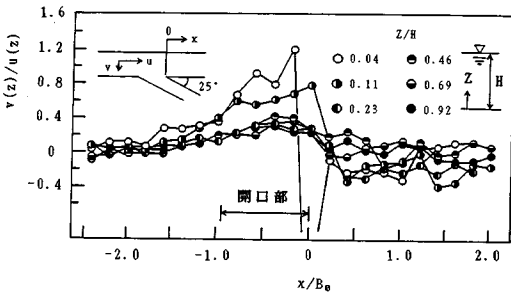


Fig. 15 Flow direction $v(z)/u(z)$ around the dividing region.

の増大に伴って x_g も増大する傾向が知られる。そして、著者らの実験範囲では、 x_g , x , θ_2/θ_1 の間に、おおよそ次のような関係が認められる。

$$\left. \begin{array}{ll} \theta_2/\theta_1=0 & \text{のとき } x_g=0.75x \\ \theta_2/\theta_1=0.5 & \text{のとき } x_g=0.9x \\ \theta_2/\theta_1=1.0 & \text{のとき } x_g=x \\ \theta_2/\theta_1=2.0 & \text{のとき } x_g=1.5x \\ \theta_2/\theta_1=\infty & \text{のとき } x_g=(1.5 \sim 2.0)x \end{array} \right\} \dots\dots\dots(11)$$

図中、室田の実験式は $\theta_1=0^\circ$, $\theta_2=30^\circ$ に関するものであって、著者らのデータと比較すると若干大きな値となっている。これについては有意な差か、実験誤差のかは定かでない。

湾曲分岐の場合、 x_g の決定機構は、Y型分岐の場合よりきわめて複雑である。これは、 x_g が x ばかりでなく、湾曲二次流の影響を強く受けるためであって、極端な場合には、図にもみられるように $x_g=0$ となる場合も現われる。ちなみに、 $x_g=0$ のデータは水深が大きく、湾曲二次流の強度が大きい場合のものである。このように複雑ではあるものの、次のような傾向がみられる。すなわち、 α が大きいほど x_g/x は小さくなり、 $x_g=0$ の場合を除くと、 α が 42° の場合は $x_g=x$, 65° の場合は $x_g=0.8x$, 90° の場合は $x_g=0.4x$ となる。

以上のように、流量配分比は上層の流れに依存し、掃流砂量配分比は水路床近傍の流れに支配されているために、一般に $x_g \neq x$ となっている。このことを調べるために、水素気泡法により調べた流況をみてみる。Fig. 15 は Y型分岐水路 ($\theta_1=0^\circ$, $\theta_2=25^\circ$) における分岐部周辺の流向偏角の縦断変化を各水深方向について示したもので、いずれの値も各水深における横断方向の平均値である。流向偏角 $v(z)/u(z)$ は開口部周辺で大きく分岐路側に向くとともに、その値は水路床近傍で大きくなることが知られる。水路床から水深の 1 割程度までは $v(z)/u(z)=0.8 \sim 1.3$ に達するのに対し、それより上層では $v(z)/u(z)=0.3 \sim 0.4$ とかなり小さくなっている。 $\theta_2=50^\circ$ の場合の流向偏角は $\theta_2=25^\circ$ の場合より大きくなるが、流向偏角が大きく変化する深さはほぼ同じで

あって、水路床から水深の 1 割程度のところである。ところが、分岐部へ向かう流速成分 $v(z)$ の水面から水路床までの変化は、流向の変化に比べて小さい。つまり、水路床から水深の 1 割程度までの流れと、それより上層の流れのねじりは、主に、 $u(z)$ の鉛直分布に起因するものと思われる。

6. 結論

Y型分岐直線水路と湾曲分岐水路を用いた固定床実験を行い、流路の偏角、エネルギー損失、流量・流砂量配分比の間の関係を調べ、以下のような興味ある結果を得られた。

(1) 分岐部直下流では、垂直軸をもつ剥離渦が形成され、その規模は偏角 θ_1 , θ_2 や α が大きいほど大きくなる。そして、そこでのエネルギー損失が顕著となる。

(2) 分岐部周辺のエネルギー損失は、単水路断面急拡部で行われている方法によって推定される。その基礎となる等価断面幅比 γ に関し、 γ と偏角との関係図を明らかにした。

(3) 流量配分比とエネルギー損失が密接に関係していることから、エネルギー方程式に基づき、偏角を考慮した流量配分比の算定法を提案し、その妥当性を確かめた。

(4) Y型分岐について、掃流砂量配分比は流量配分比と偏角によって定まるこことを示すとともに、それらの間の関係式を実験的に求めた。

流量・流砂量配分比と流路の平面形状、エネルギー損失の間の関係がかなり明らかになった。今後は、湾曲分岐の掃流砂量配分比について、湾曲二次流の影響程度を明らかにする必要がある。また、流量・流砂量配分比と分岐部周辺の局所洗掘や河床波との関係を明らかにする必要がある。

最後に、本研究を進めるにあたり、有益なご助言を頂いた京都大学防災研究所江頭進治助教授に謝意を表します。

参考文献

- 1) Habermaas, F.: Geschiebeeinwanderung in werkkanale und deren Verhinderung, Wasserkraft und Wasserwirtschaft, pp. 97~103 1935.
- 2) 芦田和男・川合茂：分岐部周辺における流れの水理特性について、京都大学防災研究所年報、第 22 号、B-2, pp. 491~505, 1979.
- 3) 川合茂・芦田和男：河川分流における流量・流砂量配分比に関する実験的研究、第 25 回水理講演会論文集, pp. 515~520, 1981.
- 4) 室田明：開水路分水工の研究、土木学会論文集、第 70 号、別冊 1-1, 1960.
- 5) 中川博次・武内等：開水路分流に関する実験的考察,

- 土木学会第 22 回年次講演会概要集, II-71, 1967.
- 6) Milen-Thomson, L. M. : Theoretical Hydrodynamics, 5th edition, Macmillan, pp. 289~292, 1968.
- 7) 道上正規・村雲 治：分水路における土砂配分, 土木学会第 32 回年次講演会概要集, pp. 313~314, 1977.
- 8) 田中祐一朗・川合 茂：分水路流れの機構に関する実験, 土木学会第 31 回年次講演会概要集, pp. 255~256, 1976.
- 9) 村本嘉雄・井上喬之：開水路弯曲流の内部機構, 京都大学防災研究所年報, 第 8 号, pp. 415~427, 1965.
- 10) 芦田和男：開水路断面急拡部の水理とその適用に関する研究, 京都大学防災研究所年報, 第 5 号 A, pp. 223~251, 1962.
- 11) 芦田和男・土屋昭彦・神谷隆太郎：河川分流の設計法(2), 土木技術資料, 2-4, pp. 131~132, 1960.
(1988.7.1・受付)